

## 貯水池堆砂捕捉率に関する研究

京都大学防災研究所 正員 芦田 和男

京都大学防災研究所 正員 鐘井 健二

京都大学大学院 学生員 ○松尾 勉

1. まえがき 貯水池において上流から流入する土砂量のうち何パーセントが捕捉されるかを示す指標である捕捉率について検討することは、流域における土砂收支を検討する上での一つの重要な課題である。この捕捉率を考慮砂の濃度分布を表す拡散方程式にもとづいて考慮する方法は有効なアプローチであるが、その境界条件のとらえ方によって解が大きく異なる可能性がある。考慮砂の堆積過程に関する従来の研究では、混合粒径の効果を単に均一粒径のものの線型的な重ね合わせとしてとらえたものが多いが、本研究においては底面の境界条件に非線型な混合粒径の影響をとり入れたモデルを考え、各粒径階ごとに均一粒径としてまとめられた場合との比較検討を行なう。

2. 考慮砂による堆積過程のモデル 平衡状態での貯水池内の濃度分布の基礎式は、

$$\frac{\partial C_k}{\partial z} = \varepsilon \frac{\partial^2 C_k}{\partial z^2} + w_k \frac{\partial C_k}{\partial z} \quad \dots \dots (1) \quad \text{と表される。上流の境界条件は、}$$

$$z=0 \text{において } C_k = f_{ok} \cdot C_{Bk} \left( \frac{w_k}{w_{lo}} \right) \cdot e^{-(w_k/\varepsilon_0)z} \quad \dots \dots (2) \quad \text{と与えられるものとする。}$$

水面での境界条件は、つり合い条件より  $\varepsilon \frac{\partial C_k}{\partial z} + w_k C_k = 0 \quad \dots \dots (3)$  と与えられる。一方、底面での境界条件は、底面濃度が低ければ堆積が生じず、断面赤砂量が保存され、 $\frac{\partial}{\partial z} Q_{sk} = 0 \quad (\sum \frac{C_k}{C_{Bk}} \leq 1) \quad \dots \dots (4)$  となり、底面濃度が高ければ堆積が生じ、考慮量が河床の粒度割合に規定されて、

$\varepsilon \frac{\partial C_k}{\partial z} + f_k w_k C_{Bk} = 0 \quad (\sum \frac{C_k}{C_{Bk}} \geq 1) \quad \dots \dots (5) \quad \text{となるものと考えられる。ここに、} h: \text{水深}, v: \text{流速}, \varepsilon: \text{拡散係数}, w_k, f_k, C_k, C_{Bk}, Q_{sk}: \text{それぞれ粒径階} k \text{の粒子の沈降速度}, \text{河床に占める割合}, \text{各点の濃度}, \text{平衡状態における底面濃度}, \text{および赤砂量}, C_B(\frac{w_k}{w_{lo}}) \text{は図-1で与えらる}^{\dagger}. \text{ただし、} \text{流速および拡散係数は断面平均値} \text{を代表} \text{するものとし}, Q_{sk} = v \int_A C_k dA, \varepsilon = k u_* h / 6 \text{とおく。また添字} 0 \text{は} z=0 \text{における値を示す。} (5) \text{式は型式的には} \text{倅定}^{\ddagger} \text{の与えたものと同じであるが、ここでは} \text{次のように} f_k \text{を河床の上昇速度と結びつけ}, \text{さらにそれを濃度の関数としてもとめる} \text{のである。すなわち}, f_k = \frac{\partial z_k}{\partial t} / \sum \frac{\partial z_k}{\partial z} \quad \dots \dots (6)$

$$\frac{\partial z_k}{\partial z} = [w_k C_k + \varepsilon \frac{\partial C_k}{\partial z}]_{z=0} \quad \dots \dots (7)$$

3. 数値計算による結果の検討 断面  $z$  における貯水池の断面形状を次式で表す。 $h_z = h_0 \{1 + b(\frac{z}{l})^n\}$ ,  $A_z = A_0 \{1 + \alpha(\frac{z}{l})^m\}$ ,

$$b = (h_e - h_0) / h_0, \alpha = (A_e - A_0) / A_0. \quad \text{ここに, } A: \text{流水断面積}, \text{添字} e \text{は下流端} (z=l) \text{の値を示す。} (1) \sim (5) \text{式を} z=0 \text{での水深} h_0, \text{平均流速} v_0, \text{断面平均濃度} C_0 \text{等を用いて無次元化し,}$$

$$X = \frac{z}{l}, Z = \frac{z}{h}, V = \frac{v}{v_0}, W = \frac{w}{w_0}, C = \frac{c}{c_0} \quad \text{とすると,} \\ (1) \text{式は次式のようになる。}$$

$$\frac{\partial C_k}{\partial X} = \frac{k_c}{64} \cdot \frac{1}{1+bX^n h_0} \frac{l}{\partial Z^2} \cdot \frac{\partial^2 C_k}{\partial Z^2} + w_k \frac{1+\alpha X^m}{1+bX^n h_0} \frac{l}{\partial Z} \frac{\partial C_k}{\partial Z} \quad \dots \dots (8)$$

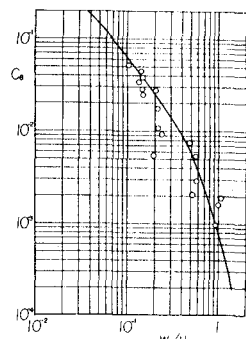


図-1 平衡状態における底面濃度

Kazuo Ashida, Kenji Sawai, Tsutomu Matsuo

ここに,  $K$ : Kármán定数,  $\varphi$ : 流速係数( $U/U_k$ ) で, それぞれ一定として,  $K=0.4$ ,  $\varphi=25$ とおく。貯水池形状を表す係数は, それぞれ  $a=25$ ,  $b=5$ ,  $m=2$ ,  $n=1$ ,  $\frac{L}{h_0} = 500$  で与えられ,  $W_1 = 1 \times 10^{-2}$ ,  $W_2 = 3.6 \times 10^{-3}$ ,  $W_3 = 1.6 \times 10^{-3}$ ,  $W_4 = 4 \times 10^{-4}$  の粒径階の上砂が,  $f_{01}=0.1$ ,  $f_{02}=0.03$ ,  $f_{03}=0.01$ ,  $f_{04}=0.0025$  で同時に流入するときの計算結果を図-2, 図-3に示す。さらに図-3には各粒径階のものが単独に流入するときの結果も点線で示す。

これらの図から明らかなように, 粗かい粒径のものはそれより大きな砂れきの挙動に影響され,  $\sum \frac{C_k}{C_{Bk}} = 1$  となる点で同時に堆積を開始する。たとえば,  $W=0.0004$  のものはそれだけが単独に流入すればすぐ下流端より流出するが, 他の粒径階のものと同時に流入すると 15%程度は貯水池に捕捉される。このように粒径階ごとのいろいろい分けは完全には行われず, 下流へいくにつれて順次最大粒径が小さくなっていく。図-4には各  $f_k$  の場所的変化を示すが, 図-3と対応させることにより, 大きな粒径の成分の  $f_k$  がピークに達しその場の堆積機構を支配していることがわかる。この後は单一粒径による堆積過程に漸近していく。以上のことから, 堆積完了点については他の粒径階に影響されることはないなどなく, 単一粒径として各々計算した場合とほぼ一致することが知れる。図-3においてもそれが確認されよう。なお, 各粒径階とも  $W_k/U_k \approx 1.5$  の付近で堆積が完了していることは注目される。

つぎに, 各断面における通過土砂量をその断面における平衡流砂量と比較してみよう。(1)式より平衡状態の濃度分布は指数分布となり, 断面平均濃度  $\bar{C}_s$  は,  $\bar{C}_s = \frac{f}{h} C_B \left( \frac{W}{U_k} \right) \times \frac{1}{W} (1 - e^{-\frac{W}{U_k}})$  となる。これから平衡流砂量  $Q_s$  をもとめ,  $Q_s$  との比を示したものが図-5である。ただし,  $\bar{Q}_s$  の算定においては  $f=1$  とおいている。このように, 捕捉率が問題とされるような小さい粒径のものについては, 平衡状態の濃度分布式を用いると  $f=1$  とおいても濃度をかなり小さく見積ることになり注意を要する。

4. あとがき 以上, 貯水池堆砂の捕捉率を求める目的として, 遊遊砂の堆積過程について理論的に考察した。温度成層や密度流の効果はモデルに組み入れなかつたが, 大出水時や小さな貯水池を対象とすればここに述べたようなモデルが適用できるものと思われ, 今後実証していきたいと考えている。

- 参考文献
- 1)道上正規: 流砂と河床変動に関する基礎的研究, 京都大学学位論文, 1972.
  - 2)合田 健: 上水浄化における水理学上の基礎的研究, 水理学学位論文, 1956.

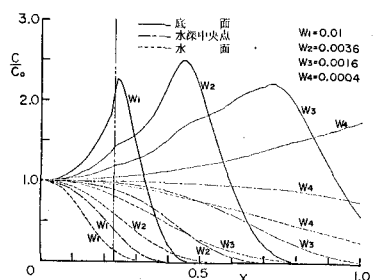


図-2 濃度の場所的変化

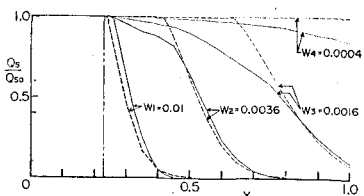


図-3 各断面における流砂量

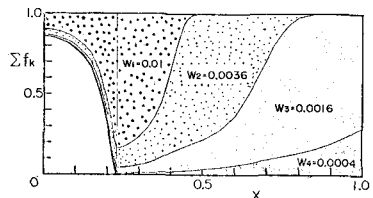


図-4  $f_k$  の場所的変化

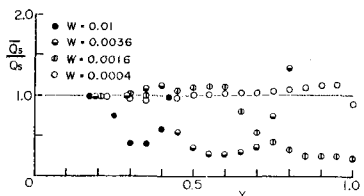


図-5 数値計算による流砂量( $Q_s$ )と平衡流砂量( $Q_s^0$ )との比較